

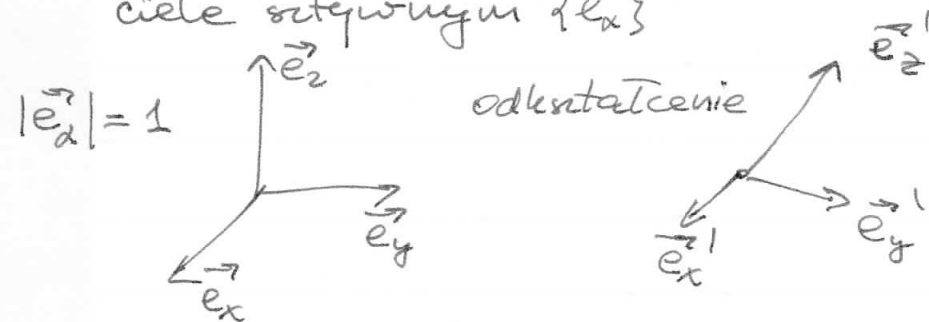
DYNAMIKA UKŁADÓW CIĄGŁYCH (cont.)

## Elastomechanika - mechanika ośrodków ciągłych

- Ciąta state rozpatrujemy jako kontinuum materii
- Dozwalamy możliwość deformacji pod wpływem sił zewnętrznych
- Rozpatrujemy tylko małe deformacje, które są proporcjonalne do działających sił (prawo Hooke'a)
- Zaniedbujemy plastyczne deformacje, powstawanie dyslokacji, pęknięć

Tensor odkształcenia

- Jednostkowe wektory w niezdeformowanym ciele otrzymujemy  $\{\vec{e}_\alpha\}$



$$\epsilon_{\alpha\beta} \ll 1$$

$$\vec{e}_x^1 = (1 + \epsilon_{xx}) \vec{e}_x + \epsilon_{xy} \vec{e}_y + \epsilon_{xz} \vec{e}_z$$

$$\vec{e}_y^1 = \epsilon_{yx} \vec{e}_x + (1 + \epsilon_{yy}) \vec{e}_y + \epsilon_{yz} \vec{e}_z$$

$$\vec{e}_z^1 = \epsilon_{zx} \vec{e}_x + \epsilon_{zy} \vec{e}_y + (1 + \epsilon_{zz}) \vec{e}_z$$

Gdy  $\epsilon_{\alpha\beta}$  są niezależne od  $\vec{r}$  to odkształcenie nazywamy jednorodnym

$$\vec{e}_x^1 \cdot \vec{e}_x^1 = (1 + \epsilon_{xx})^2 + \epsilon_{xy}^2 + \epsilon_{xz}^2 \approx 1 + 2\epsilon_{xx}$$

$$|\vec{e}_x^1| \approx 1 + \epsilon_{xx}$$

odkształcenie zmienia długość wektorów

$\epsilon_{xx}, \epsilon_{yy}, \epsilon_{zz}$  opisują względny zmianę długości wektorów  $\vec{e}_x, \vec{e}_y, \vec{e}_z$  przy odkształceniu

$$\vec{e}_x' \cdot \vec{e}_y' = (1 + \epsilon_{xx})\epsilon_{yx} + \epsilon_{xy}(1 + \epsilon_{yy}) + \epsilon_{xz}\epsilon_{yz} \approx \epsilon_{yx} + \epsilon_{xy}$$

$\epsilon_{\alpha\beta}$  dla  $\alpha \neq \beta$  opisują zmiany kątów przez odkształcenie

Jaki wpływ ma odkształcenie na punkt w ciebie statym?

$$\vec{r} = x\vec{e}_x + y\vec{e}_y + z\vec{e}_z$$

Po odkształceniu  $\vec{r} \rightarrow \vec{r}' = x\vec{e}_x' + y\vec{e}_y' + z\vec{e}_z'$

Zdefiniujmy wektor odkształcenia

$$\vec{u}(\vec{r}) = \vec{r}' - \vec{r} = x(\vec{e}_x' - \vec{e}_x) + y(\vec{e}_y' - \vec{e}_y) + z(\vec{e}_z' - \vec{e}_z)$$

$$\vec{u}(\vec{r}) = (x\epsilon_{xx} + y\epsilon_{yx} + z\epsilon_{zx})\vec{e}_x + (x\epsilon_{xy} + y\epsilon_{yy} + z\epsilon_{zy})\vec{e}_y + (x\epsilon_{xz} + y\epsilon_{yz} + z\epsilon_{zz})\vec{e}_z$$

$$\vec{u}(\vec{r}) = u_x\vec{e}_x + u_y\vec{e}_y + u_z\vec{e}_z$$

$$u_\alpha(\vec{r}) = \underbrace{u_\alpha(0)}_{u_0} + \frac{\partial u_\alpha}{\partial x}x + \frac{\partial u_\alpha}{\partial y}y + \frac{\partial u_\alpha}{\partial z}z$$

Punkt  $\vec{r}=0$  nie przesuwają się

$$\epsilon_{\beta\alpha} \equiv \frac{\partial u_\alpha}{\partial x_\beta} \quad ; \quad \epsilon_{xx} = \frac{\partial u_x}{\partial x}, \quad \epsilon_{yx} = \frac{\partial u_x}{\partial y}, \quad \epsilon_{zx} = \frac{\partial u_x}{\partial z}$$

Definiuje się symetryczny tensor odkształcenia

$$\overleftrightarrow{\epsilon}(\vec{r})$$

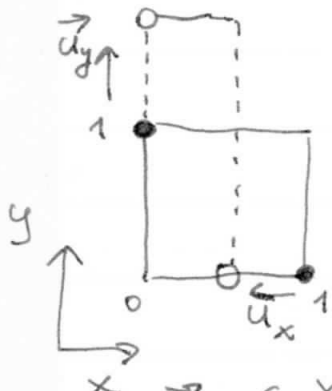
$$\epsilon_{xx} \equiv \epsilon_{xx} = \frac{\partial u_x}{\partial x} \quad ; \quad \epsilon_{yy} \equiv \epsilon_{yy} = \frac{\partial u_y}{\partial y} \quad ; \quad \epsilon_{zz} \equiv \epsilon_{zz} = \frac{\partial u_z}{\partial z}$$

składowe diagonalne opisują ścisłanie lub rozciąganie wzdłuż odpowiednich osi  
pozadiaagonalne elementy opisują zmiany kątów

$$\epsilon_{xy} \equiv \vec{e}_x' \cdot \vec{e}_y' = \epsilon_{yx} + \epsilon_{xy} = \frac{\partial u_x}{\partial y} + \frac{\partial u_y}{\partial x}$$

$$\epsilon_{yz} \equiv \vec{e}_y' \cdot \vec{e}_z' = \epsilon_{zy} + \epsilon_{yz} = \frac{\partial u_y}{\partial z} + \frac{\partial u_z}{\partial y}$$

$$\epsilon_{zx} \equiv \vec{e}_z' \cdot \vec{e}_x' = \epsilon_{xz} + \epsilon_{zx} = \frac{\partial u_x}{\partial z} + \frac{\partial u_z}{\partial x}$$

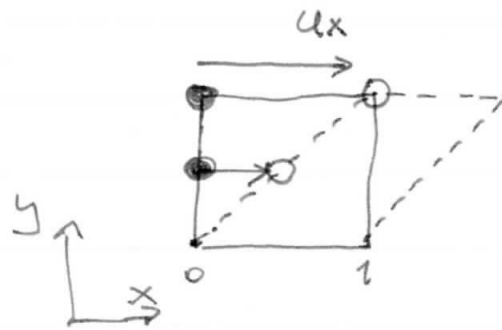


$$\vec{u} = \left(-\frac{x}{2}, \frac{y}{2}, 0\right)$$

$$\epsilon_{xx} = -\frac{1}{2}$$

$$\epsilon_{yy} = \frac{1}{2}$$

inne składowe  
 $\epsilon_{\alpha\beta} = 0$



$$\vec{u} = (y, 0, 0)$$

$$\epsilon_{xy} = \epsilon_{yx} = \frac{\partial u_x}{\partial y} = 1$$

Hydrostatyczne ścisnięcie

z każdym odkształceniem może być związana zmiana objętości

$$V' = \vec{e}_x' \cdot (\vec{e}_y' \times \vec{e}_z') = \begin{vmatrix} 1 + \epsilon_{xx} & \epsilon_{xy} & \epsilon_{xz} \\ \epsilon_{yx} & 1 + \epsilon_{yy} & \epsilon_{yz} \\ \epsilon_{zx} & \epsilon_{zy} & 1 + \epsilon_{zz} \end{vmatrix} V =$$

$$= (1 + \epsilon_{xx} + \epsilon_{yy} + \epsilon_{zz}) V$$

$$\frac{\Delta V}{V} = \frac{V' - V}{V} = \epsilon_{xx} + \epsilon_{yy} + \epsilon_{zz}$$

odkształcenia ścinające (bez zmiany objętości)

każde odkształcenie można przedstawić jako ~~wzrost~~ zmianę objętości i odkształcenie ścinające

$$\epsilon_{\alpha\beta} = \underbrace{\left(\epsilon_{\alpha\beta} - \frac{1}{3}\delta_{\alpha\beta}\epsilon_{\alpha\alpha}\right)}_{\bar{\epsilon}_{\alpha\beta}} + \frac{1}{3}\delta_{\alpha\beta}\epsilon_{\alpha\alpha}$$

$$\bar{\epsilon}_{11} = \epsilon_{11} - \frac{1}{3}(\epsilon_{11} + \epsilon_{22} + \epsilon_{33})$$

$$\bar{\epsilon}_{22} = \epsilon_{22} - \frac{1}{3}(\epsilon_{11} + \epsilon_{22} + \epsilon_{33})$$

$$\bar{\epsilon}_{33} = \epsilon_{33} - \frac{1}{3}(\epsilon_{11} + \epsilon_{22} + \epsilon_{33})$$

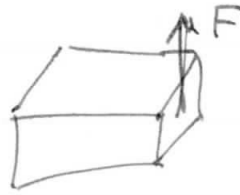
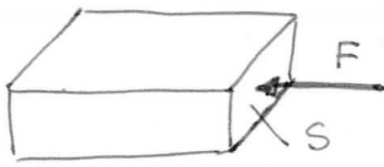
oczywiście

$$\bar{\epsilon}_{11} + \bar{\epsilon}_{22} + \bar{\epsilon}_{33} = 0;$$

czyli  $\bar{\epsilon}_{\alpha\beta}$  opisuje odkształcenie ścinające bez zmiany objętości

# Tensor naprężenia

Sily objętościowe i powierzchniowe

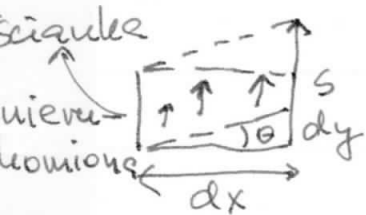


Sily objętościowe  $\vec{F} = \rho \vec{g} dV$  (sila ciężkości)

$\vec{F} = -p \vec{n} dA$   
sila skierowana  
do wnętrza objętości

ściskanie

Sila powierzchniowa - siła, której wartość jest proporcjonalna do pola powierzchni elementu powierzchni

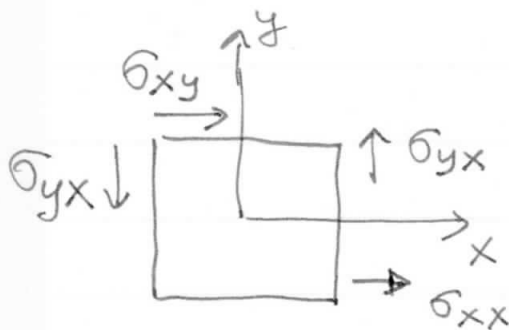


Zewnętrzne sily powierzchniowe powodują odkształcenia

naprężenie =  $\frac{\text{sila}}{\text{pole powierzchni}}$

tensor  $\hat{\sigma}$

$\sigma_{\alpha\beta}$  - komponenta  $\alpha$  sily działająca na powierzchni prostopadłej do  $\vec{e}_\beta$



Tensor  $\hat{\sigma}$  jest symetryczny

$$\sigma_{\alpha\beta} = \sigma_{\beta\alpha}$$

Warunek, że ciało spoczywa i nie dokonuje obrotu.

Relacje pomiędzy tensorem naprężenia a odkształceniami

moduly elastyczności w anizotropowych ośrodkach

$$\epsilon_{\alpha\beta} = S_{\alpha\beta\gamma\delta} \sigma_{\gamma\delta}$$

S - współczynniki elastyczności

$$\sigma_{\alpha\beta} = C_{\alpha\beta\gamma\delta} \epsilon_{\gamma\delta}$$

PRAWO HOOKA

C - moduły elastyczności

21 - niezależnych składowych

Notacja inżynierska

$$1 \equiv xx, 2 \equiv yy, 3 \equiv zz, 4 \equiv yz, 5 \equiv zx, 6 \equiv xy$$

$$\epsilon_{\alpha} = \sum_{\beta=1}^6 S_{\alpha\beta} \sigma_{\beta}$$

$$\sigma_{\alpha} = \sum_{\beta=1}^6 C_{\alpha\beta} \epsilon_{\beta}$$

## Energia elastyczna kryształu

Odkształcenie powoduje zmianę (wzrost) energii kryształu.

Rozwiniemy energię względem  $\epsilon_{\alpha}$  do otoczeń drugiego rzędu

$$U = U_0 + \sum_{\lambda=1}^6 k_{\lambda} \epsilon_{\lambda} + \frac{1}{2} \sum_{\lambda, \mu=1}^6 \tilde{C}_{\lambda\mu} \epsilon_{\lambda} \epsilon_{\mu}$$

$$k_{\lambda} = \frac{\partial U}{\partial \epsilon_{\lambda}} = \sigma_{\lambda} - \text{składowe naprężenia}$$

bez odkształcenia kryształ jest w minimum energii  $\Rightarrow k_{\lambda} = 0 \quad \forall \lambda$

W kryształach kubicznych liczba niezależnych stałych redukuje się do 3

$$C_{11}, C_{12}, C_{44}$$

$$\begin{pmatrix} \sigma_{xx} \\ \sigma_{yy} \\ \sigma_{zz} \\ \sigma_{yz} \\ \sigma_{zx} \\ \sigma_{xy} \end{pmatrix} = \begin{pmatrix} C_{11} & C_{12} & C_{12} & 0 & 0 & 0 \\ C_{12} & C_{11} & C_{12} & 0 & 0 & 0 \\ C_{12} & C_{12} & C_{11} & 0 & 0 & 0 \\ 0 & 0 & 0 & C_{44} & 0 & 0 \\ 0 & 0 & 0 & 0 & C_{44} & 0 \\ 0 & 0 & 0 & 0 & 0 & C_{44} \end{pmatrix} \begin{pmatrix} \epsilon_1 \\ \epsilon_2 \\ \epsilon_3 \\ \epsilon_4 \\ \epsilon_5 \\ \epsilon_6 \end{pmatrix}$$

$$U = \frac{1}{2} C_{11} (\epsilon_1^2 + \epsilon_2^2 + \epsilon_3^2) + \frac{1}{2} C_{44} (\epsilon_4^2 + \epsilon_5^2 + \epsilon_6^2) + C_{12} (\epsilon_2 \epsilon_3 + \epsilon_3 \epsilon_1 + \epsilon_1 \epsilon_2)$$

state elastyczne w  $GPa = \frac{GN}{m^2} = \frac{kN}{mm^2}$

	$C_{11}$	$C_{12}$	$C_{44}$
Diaament	1076	125	576
Kwarc	166	64	80
Sól kuchenna	49	12	13
Na	7	6	4

Izotropowe elastyczne kontinua

\*  $\sigma_{\alpha\beta} = 2\mu e_{\alpha\beta} + \lambda(e_{xx} + e_{yy} + e_{zz})\delta_{\alpha\beta}$

w izotropowym materiale  $C_{11} - C_{12} = C_{44}$

$2\mu = C_{44}$        $\lambda = C_{12}$

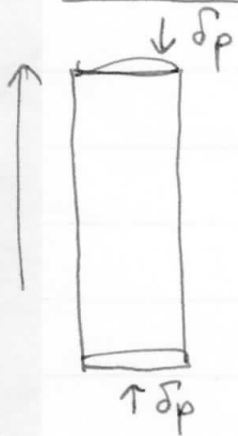
$U = \frac{1}{2} \sum_{\alpha=1}^6 \sigma_{\alpha} e_{\alpha} = \mu \sum_{\alpha=1}^6 e_{\alpha}^2 + \frac{\lambda}{2} (e_{xx} + e_{yy} + e_{zz})^2$

z odwrócenia \*

$e_{\alpha\beta} = \frac{1}{2\mu} \sigma_{\alpha\beta} - \frac{\lambda}{2\mu(2\mu+3\lambda)} (\sigma_{xx} + \sigma_{yy} + \sigma_{zz}) \delta_{\alpha\beta}$

Przykład

Odkształcenie pręta



Siła  $\delta p$  na obu końcach pręta  
 ścisłanie  $\delta p < 0$ , rozciąganie  $\delta p > 0$

$\sigma_{zz} = \delta p$

$e_{zz} = \left( \frac{1}{2\mu} - \frac{\lambda}{2\mu(2\mu+3\lambda)} \right) \sigma_{zz} = \frac{\mu+\lambda}{\mu(2\mu+3\lambda)} \sigma_{zz} = \frac{1}{E} \delta p$

$e_{xx} = e_{yy} = -\frac{\lambda}{2\mu(2\mu+3\lambda)} \sigma_{zz}$

$e_{zz}$  - określona względnie wydłużenie pręta

$E$  - moduł Younga

$e_{xx} = e_{yy} = -\nu e_{zz}$

↑  
 liczba Poissona

$\nu = \frac{\lambda}{2(\mu+\lambda)}$

# Równanie ruchu dla ośrodka sprężystego

13-7

Rozważmy mały element ośrodka sprężystego o  
infinitesimalnej objętości  $dV$

Masa  $\rho dV$

potencjał elementu objętości

$$\vec{r} + \vec{u}(\vec{r}, t)$$

$$\rho dV \frac{\partial^2 \vec{u}}{\partial t^2} = \vec{F}_{obj} + \vec{F}_{pow}$$

$$\vec{F}_{obj} = \rho \vec{g} dV$$

$$\vec{F}_{pow} = \int_S \sigma_{\alpha\beta} n_\beta dA$$

$$\int_S \vec{v} \cdot d\vec{A} = \int_V \nabla \cdot \vec{v} dV$$

$$\nabla \cdot \vec{v} = \frac{\partial v_x}{\partial x} + \frac{\partial v_y}{\partial y} + \frac{\partial v_z}{\partial z}$$

$$\rho \frac{\partial^2 u_\alpha}{\partial t^2} = \rho g_\alpha + \left( \frac{\partial \sigma_{\alpha x}}{\partial x} + \frac{\partial \sigma_{\alpha y}}{\partial y} + \frac{\partial \sigma_{\alpha z}}{\partial z} \right)$$

$$\rho \frac{\partial^2 u_\alpha}{\partial t^2} = \rho g_\alpha + \frac{\partial \sigma_{\alpha\beta}}{\partial x_\beta}$$

Np. dla kubycznego kryształu

$$\rho \frac{\partial^2 u_x}{\partial t^2} = C_{11} \frac{\partial \epsilon_{xx}}{\partial x} + C_{12} \left( \frac{\partial \epsilon_{yy}}{\partial x} + \frac{\partial \epsilon_{zz}}{\partial x} \right) + C_{44} \frac{\partial \epsilon_{xy}}{\partial y} + C_{44} \frac{\partial \epsilon_{zx}}{\partial z}$$

$\epsilon_{xx}$  można wyrazić przez  $u_x$

$$\rho \frac{\partial^2 u_x}{\partial t^2} = C_{11} \frac{\partial^2 u_x}{\partial x^2} + C_{44} \left( \frac{\partial^2 u_x}{\partial y^2} + \frac{\partial^2 u_x}{\partial z^2} \right) + (C_{12} + C_{44}) \left( \frac{\partial^2 u_y}{\partial x \partial y} + \frac{\partial^2 u_z}{\partial x \partial z} \right)$$

Można szukać rozwiązań w postaci

$$u_x(x) = u_0 \exp[i(Kx - \omega t)]; \quad u_y = 0 \quad u_z = 0$$

$K = \frac{2\pi}{\lambda}$  - liczba faliowa  $\omega$  - częstość

$$\omega^2 \rho = C_{11} K^2 \rightarrow \text{drżania podłużne z prędkością} \\ \text{dźwięku } v = \frac{\omega}{K} = \sqrt{\frac{C_{11}}{\rho}}$$

Również drżania poprzeczne

$$u_y = u_0 \exp[i(Kx - \omega t)]; \quad u_x = u_z = 0$$

$$\Rightarrow \omega^2 \rho = C_{44} K^2; \quad v = \sqrt{\frac{C_{44}}{\rho}}$$

prędkość faliowa drgań  
poprzecznych

# Hydrodynamika

13-8

Równania ruchu (dynamika) ciecży i gazów

$$\rho(\vec{r}, t) = \frac{\sum_{v=1}^N m v}{\Delta V} \quad \leftarrow \text{suma po } N \text{ atomach, które znajdują się w objętości } \Delta V \text{ wokół punktu } \vec{r}$$

$$\vec{v}(\vec{r}, t) = \frac{1}{N} \sum_{v=1}^N \vec{v}_v = \langle \vec{v}_v \rangle_{\Delta V}$$

↪ uśredniona prędkość  $N$  atomów

Molekuly powietrza  $|\vec{v}_v| = 10^4 - 10^5 \text{ cm/s}$ , termiczne ruchy

$|\vec{v}(\vec{r}, t)|$  jest typowo 10 razy mniejsza

W gazie lub cieczy (ogólnie mówimy płynie) panuje ciśnienie

$$p(\vec{r}, t) = \frac{\Delta \vec{F}}{\Delta A} = \frac{\text{Siła}}{\text{powierzchnia}}$$

źródło ciśnienia - zderzenia atomów

Jeżeli  $\Delta V$  zostanie wybrane rozsądnie  $\rho, \vec{v},$  i  $p$  nie zależą od  $\Delta V$ .

• Płyny, które dadzą się opisać przez  $\rho, \vec{v}$  i  $p$  nazywamy idealnymi

□ W idealnych płynach nie uwzględnia się lepkości (powiedmy rodzaju tarcia) i efektów temperaturowych.

Potrzebne  $T(\vec{r}, t)$ , żeby to uwzględnić

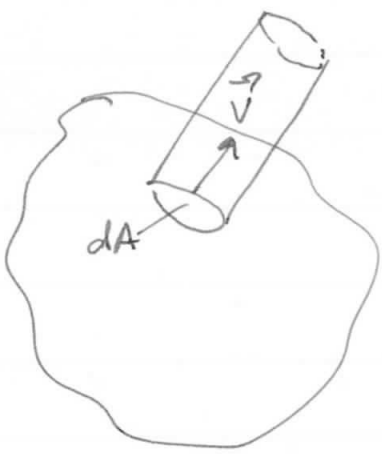
Prymitywne płynu nie ginie materia  $\Rightarrow$  równanie ciągłości

$$\vec{j}(\vec{r}, t) := \rho(\vec{r}, t) \vec{v}(\vec{r}, t) \quad \text{gęstość prądu}$$

$$[\vec{j}] = \frac{\text{Masa}}{\text{objętość}} \cdot \frac{\text{Długość}}{\text{Czas}} = \frac{\text{Masa}}{\text{Powierzchnia} \cdot \text{Czas}}$$



Liczba cząstek jest stała 13-9



$$\oint_{\partial\Omega} \rho(\vec{r}, t) \vec{v}(\vec{r}, t) = -\frac{d}{dt} \int_{\Omega} \rho(\vec{r}, t)$$

$\Omega \equiv V$  - objętość  
 $\partial\Omega$  = Powierzchnia otaczająca obszar  $V$

Załóżmy, że  $V$  jest stała w jakims układzie inercyjnym

$$\frac{d}{dt} \int_V \rho(\vec{r}, t) = \int_V \frac{\partial \rho}{\partial t}(\vec{r}, t)$$

~~Przez~~ Twierdzenie Gaussa  $\int_{\partial\Omega} \vec{\sigma} \cdot \vec{n} = \int_V \text{div} \vec{\sigma}$

$$\int_V \left( \frac{\partial \rho}{\partial t} + \text{div}(\rho \vec{v}) \right) = 0$$

↖ równość dla dowolnych objętości  $V$

$$\Rightarrow \boxed{\frac{\partial \rho}{\partial t} + \text{div}(\rho \vec{v}) = 0} \quad \boxed{\frac{\partial \rho(\vec{r}, t)}{\partial t} + \text{div} \vec{j}(\vec{r}, t) = 0}$$

↗ Równanie ciągłości

### Równanie Eulera

Rozważmy objętość  $\Delta V'$  płynu

$$\Delta m = \rho(\vec{r}, t) \Delta V' \leftarrow \text{masa}$$

$\Delta \vec{F}$  siła działająca na masę  $\Delta m$

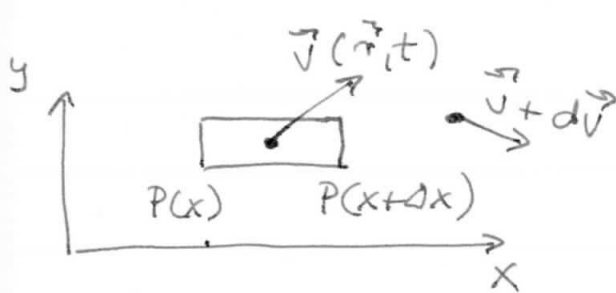
$$\Delta m \frac{d\vec{v}(\vec{r}, t)}{dt} = \rho(\vec{r}, t) \Delta V' \frac{d\vec{v}(\vec{r}, t)}{dt} = \Delta \vec{F}(\vec{r}, t)$$

Jakie zjawiska dają wkład do siły  $\Delta \vec{F}$

Np. siła ciężkości (siła objętościowa)  $\Delta \vec{F}_g = f(\vec{r}, t) \Delta V'$

$$f(\vec{r}, t) = \rho(\vec{r}, t) \vec{g}$$

- Niejednorodność ciśnienia (zależność  $P$  od  $\vec{r}$ ) też jest źródłem siły!



$$\Delta V' = \Delta x \Delta y \Delta z$$

$$\Delta K_P = - \oint_{\Delta V'} d\vec{A} \cdot \vec{P} = -\vec{e}_x \Delta y \Delta z [P(x+\Delta x) - P(x)] + \\ -\vec{e}_y \Delta x \Delta z [P(y+\Delta y) - P(y)] + \\ -\vec{e}_z \Delta x \Delta y [P(z+\Delta z) - P(z)]$$

+yżakó współrzędne, które się zmieniają zostają zaznaczone

$$\Delta K_P = -\Delta V' (\text{grad } P) = -\Delta V' (\nabla P(\vec{r}, t))$$

Rozważmy przyspieszenie

$\frac{d\vec{v}(\vec{r}, t)}{dt}$ . Mamy dwa źródła przyspieszenia

- 1)  $\vec{v}$  zależy explicitnie od czasu
- 2) W czasie  $dt$  przesuwają się element masy z punktu  $\vec{r}$  do  $\vec{r} + \vec{v}dt$ , gdzie uśredniona prędkość ma inną wartość

Formalnie możemy zapisać różniczkę zupełną

$$d\vec{v} = \frac{\partial \vec{v}}{\partial t} dt + \frac{\partial \vec{v}}{\partial x} dx + \frac{\partial \vec{v}}{\partial y} dy + \frac{\partial \vec{v}}{\partial z} dz = \frac{\partial \vec{v}}{\partial t} dt + d\vec{r} \cdot \nabla \vec{v} \\ = \frac{\partial \vec{v}}{\partial t} dt + (\vec{v} \cdot \nabla) \vec{v} dt$$

$$\rho \left( \frac{\partial \vec{v}}{\partial t} + (\vec{v} \cdot \nabla) \vec{v} \right) = -\nabla P + \vec{f} \quad \text{równanie Eulera}$$

Równanie Eulera }  $\rightarrow$  równania różniczkowe  
Równanie ciągłości } cząstkowe  
(+ warunki początkowe i brzegowe)

4 Równania na 5 niewiadomych  $\rho, \vec{v}, P$

Potrzebne jeszcze inne równanie, żeby je wyznaczyć

Równanie stanu  $\equiv$  zależność  $P$  od  $\rho$ ,  $P = P(\rho(\vec{r}, t))$

Gas idealny  $\Rightarrow P(\rho) = \frac{k_B T}{m} \rho = \text{const} \cdot \rho$

$\rho(\vec{r}, t) = \rho_0 = \text{const}$  Płyn niesściśliwy

Równanie Eulera }  $\Rightarrow \vec{v}, P$   
Równanie ciągłości }

① Hydrostatyka  $\rho(\vec{r}, t) = \rho(\vec{r})$ ;  $\vec{v}(\vec{r}, t) = 0$ ,  $P(\vec{r}, t) = P(\vec{r})$

Rozpatrujemy spoczywający płyn w jednorodnym polu grawitacyjnym.

$$\vec{f} = \rho \vec{g} = -\rho g \vec{e}_z$$

Równanie ciągłości spełnione trywialnie

Równanie Eulera  $\rightarrow \text{grad } P = \rho \vec{g} \rightarrow \frac{dP(z)}{dz} = -\rho(z)g$

Jeżeli płyn jest nieściśliwy  $\rho = \rho_0$

$$\frac{dP(z)}{dz} = -\rho_0 g \Rightarrow \boxed{P(z) = P_0 - \rho_0 g z}$$

ciśnienie dla  $z=0$

Opisuje ciśnienie w jeziorze w zależności od głębokości

② Rotująca ciecz w polu ciżkości

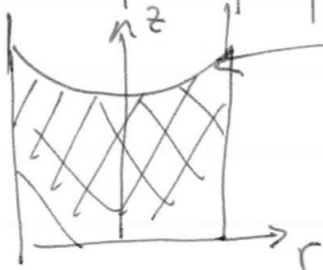
$$\vec{g} = -g \vec{e}_z \quad \vec{v} = \vec{v}(\vec{r}) = \omega \vec{e}_z \times \vec{r}$$

(Równania Eulera i ciągłości w cylindrycznym współrzędnych  $\rho = \rho_0$ )  $\Rightarrow \boxed{P(r, z) = \rho_0 \left( -gz + \frac{\omega^2 r^2}{2} \right) + \text{const}}$   
 ↑ w cieczy

W powietrzu mamy  $P = P_0$  (ciśnienie atmosferyczne)

Na granicy dwóch faz (ciecz, powietrze) musi zachodzić równość  $P(r, z) = P_0$

To definiuje powierzchnię  $z(r) = \frac{\omega^2}{2g} r^2 + \text{const}$



③ Przypadek przepływu laminarnego (bez wirów)  
 $\text{rot } \vec{v}(\vec{r}) = 0 \Rightarrow v(\vec{r}) = \text{grad } \phi(\vec{r})$